

POSSIBILITE DE MESURE PRECISE DE LA PHASE DES OSCILLATIONS
BETATRONIQUES A PARTIR D'UNE TRANSFORMEE DE FOURIER
EN INTRODUISANT UN ALGORITHME DE MODULATION D'AMPLITUDE

Edgar ASSEO

Sommaire

| | | |
|----|---|----|
| 1. | Introduction et rappels | 1 |
| 2. | Principe de la méthode | 6 |
| 3. | Etablissement des algorithmes de modulation | 11 |
| 4. | Récapitulatif de la méthode | 19 |
| 5. | Résultats | 21 |
| 6. | Conclusion | 21 |

1. INTRODUCTION ET RAPPELS

Ce travail a été motivé par des études sur les origines des perturbations dans LEAR² pour lesquelles la connaissance de la phase des oscillations bétatroniques était nécessaire.

Nous avons déjà, dans le rapport CERN-PS 85-9, développé une méthode d'obtention de la phase à partir des résultats donnés par une transformation de Fourier.

Nous venons dans le courant de cette introduction les avantages de la méthode proposée ici.

Les brefs rappels nécessaires qui vont suivre se réfèrent au rapport cité et au contenu d'un rapport jaune en cours de préparation.

1.1 Rappel des causes d'erreurs

Une DFT (ou FFT) faite avec N échantillons $y(n \cdot \Delta T)$ relevés à la fréquence $1/\Delta T$ sur un signal temporel $y(t)$, ne peut mettre en évidence d'une façon juste que les composantes de fréquences multiples de $\frac{1}{N \cdot \Delta T}$. On peut dire que pour le spectre calculé par cette DFT, l'unité de mesure de la fréquence est $\frac{1}{N \cdot \Delta T}$. On mesurera donc correctement une composante de fréquence

² Travaux et MD de J. BENGTSSON et M. CHANEL.

$\frac{k}{N \cdot \Delta T}$ pour laquelle k est un entier c'est à dire dont la fréquence est une valeur rationnelle de l'unité de mesure.

Lorsque la réalité du signal temporel $y(n, \Delta T)$ n'entre pas dans ce cadre restrictif, le spectre obtenu par une DFT représente une image déformée de la réalité. Chacune des composantes de fréquence non rationnelle de l'unité de mesure, est distribuée sur toutes les raies de valeurs entières produites par la DFT. Cette distribution s'opère via le spectre propre à la fenêtre d'observation (la projectrice) qui se trouve attachée à chacune des composantes vraies de fréquence non rationnelle.

Si on considère une composante vraie de fréquence non rationnelle particulière (en supposant $\Delta T=1$) :

$$q'_n = \frac{k'_n}{N} \quad (k' \text{ n'est pas un entier})$$

et qu'on regarde la raie de fréquence rationnelle $\frac{k_n}{N}$ la plus proche, on y verra une représentation de la composante vraie dont en particulier la phase est entachée de deux types d'erreur :

a) une erreur due au fait que la composante lue sur la raie $\frac{k_n}{N}$ résulte de la distribution sur cette

raie de la composante vraie de fréquence $\frac{k'_H}{N}$ (celle dont on veut mesurer la phase) la plus proche. Cette erreur sera dite d'irrationnalité principale (irrationnalité de la fréquence de la composante qu'on mesure). Cette erreur correspond à la phase de la projectrice lue en $\frac{k_0}{N}$ et ne dépend que de l'écart $(k'_H - k_0)$. On l'écrira

$$[d\phi]_1 = \phi_{\text{proj.}}(k'_H - k_0) \quad (1)$$

La valeur de ce type d'erreur peut être très importante (valeur comprise entre 0 et $\pm \frac{\pi}{2}$). Elle présente cependant la particularité importante de s'annuler lorsque $k'_H - k = 0$:

$$[d\phi]_1 = 0 \text{ si } k'_H - k = 0$$

$[d\phi]_1$ est d'autant plus petit que $(k' - k_0)$ est petit

c'est à dire qu'on s'approche d'une condition de rationalité pour la composante qu'on mesure.

b) Toutes les composantes vraies autres que celle qu'on mesure (couplage, bruit, spectre image) et dont les fréquences ne sont, pour la majeure partie d'entre elles, pas rationnelles de l'unité de mesure $\frac{1}{N}$, sont distribuées par la DFT et ramènent en particulier sur la raie $\frac{k_0}{N}$ une erreur $[d\phi]_2$. Cette erreur sera dite erreur des irrationnalités secondaires.

Cette erreur $[d\phi]_2$ peut être minimisée par le choix d'une stratégie (fenêtre sinus, choix du nombre N d'échantillons).

L'erreur total en phase, donnée par la DFT, peut donc être exprimée par :

$$[d\phi]_{\text{total}} = \underbrace{\phi_{\text{prog}}(k'_H - k_0)}_{\gg} + \underbrace{[d\phi]_2}_{\uparrow} \quad (2)$$

avec

L'erreur $\phi_{\text{prog}}(k'_H - k_0)$ est connue analytiquement. L'expression en est simple dans le cas d'une oscillation monochromatique mais elle devient plus complexe lorsqu'il y a amortissement. Elle dépend en particulier du facteur δ de l'amortissement qui est inconnu a priori. Le moyen d'obtenir l'erreur minimum est alors de chercher à être dans la condition $k'_H - k_0 = 0$ ou en tout cas le plus petit possible.

Pour ce faire il apparaît qu'il faut, idéalement, mesurer la fréquence "vraie" et obtenir une mesure :

$$(q'_H)_m = \frac{k'_H}{N}$$

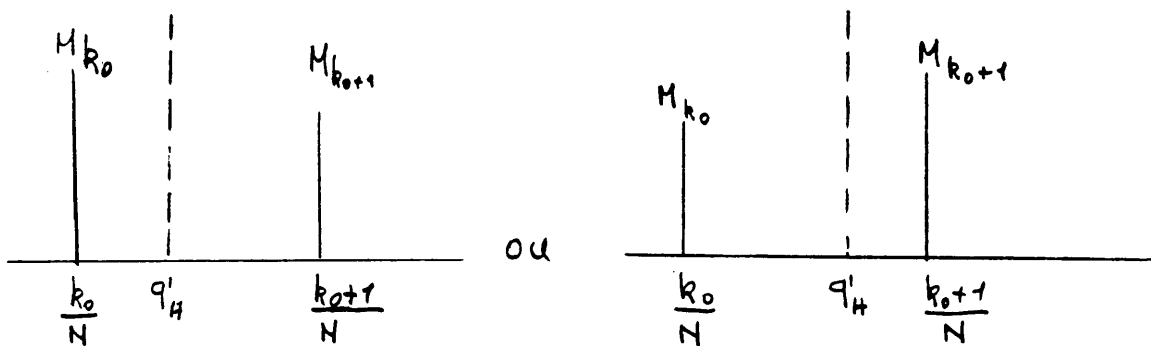
et chercher à faire une DFT de N_1 échantillons telle que

$$(q'_H) = \frac{k_0}{N_1} \quad \text{avec} \quad k_0 = k'_H$$

1.2 Rappel sur la mesure de la fréquence "vraie" -

La méthode de l'interpolation analytique permet, en utilisant une stratégie simple, de mesurer la fréquence "vraie" à partir des modules des raies données par une DFT de N échantillons et qui appartiennent au lobe principale de la projectrice attaché à la composante qu'on mesure.

soit donc M_{k_0} et M_{k_0+1} les modules des raies situées de part et d'autre de la fréquence "vraie" q'_H :



avec la fenêtre rectangulaire :

$$(q'_{H/m}) = \frac{1}{N} \left[k_0 + \frac{M_{k_0+1}}{M_{k_0+1} + M_{k_0}} \right]$$

avec la fenêtre sinus :

$$(q'_{H/m}) = \frac{1}{N} \left[k_0 + \frac{2 \cdot M_{k_0+1}}{M_{k_0+1} + M_{k_0}} - \frac{1}{2} \right]$$

(3)

La méthode utilisant la fenêtre sinus permet d'obtenir une précision plus grande. On aura donc :

$$\left. \begin{aligned} (q'_H)_m &= q'_H + d(q'_H) \\ (k'_H)_m &= N \cdot q'_H + N \cdot d(q'_H) \end{aligned} \right\}$$

avec en general

$$[d(q'_H)]_{\max} < \pm \frac{1}{40 \cdot N} \quad (5)$$

1.3. Rappel sur la mesure de la phase

La méthode utilisée consistait, à partir de la valeur mesurée $(q'_H)_m$, d'obtenir, avec un algorithme de conversion « décimal \rightarrow fraction », une valeur rationnelle $\frac{K_0}{N1}$ permettant l'approximation de $(q'_H)_m$. Cette approximation introduisait une erreur ε dont la valeur ne pouvait en principe être réduite que si on ne mettait pas de conditions limitatives au choix de $N1$:

$$(q'_H)_m = \frac{K_0}{N1} + \varepsilon$$

On ajoutait ainsi l'erreur ε à l'erreur $d(q'_H)$ de l'interpolation analytique. La méthode proposée ici évite complètement cet inconvénient.

2. PRINCIPE DE LA METHODE

L'idée que nous avons utilisée est la suivante.
Une oscillation vraie de fréquence q'_H et de phase ϕ_0 modulée en amplitude par une oscillation de fréquence f_m et de phase zéro, correspond à

une réalité comportant deux oscillations:

- l'une de fréquence $q'_H + f_m$ et de phase ϕ_q ,
- l'autre de fréquence $q'_H - f_m$ et de phase ϕ_q .

La modulation d'amplitude donne ainsi la possibilité de transposer la réalité d'une fréquence q'_H en la réalité d'une somme de deux fréquences modifiées (par le choix de f_m) avec conservation de la phase ϕ_q .

En choisissant correctement la fréquence de modulation f_m , on peut faire en sorte que l'une des deux fréquences transposées soit rationnelle dans une représentation spectrale donnée par une DFT de $N+1$ échantillons.

On a ainsi les possibilités :

$$q'_H + (f_m)_1 = \frac{\kappa_0}{N+1} \quad (\text{dans ce cas } \frac{\kappa_0}{N+1} > q'_H) \quad (6)$$

$$\text{soit } \boxed{(f_m)_1 = \frac{\kappa_0}{N+1} - q'_H} \quad (7)$$

$$\text{ou } q'_H - (f_m)_2 = \frac{\kappa_0}{N+1} \quad (\text{dans ce cas } \frac{\kappa_0}{N+1} < q'_H) \quad (8)$$

$$\text{soit } \boxed{(f_m)_2 = q'_H - \frac{\kappa_0}{N+1}} \quad (9)$$

Appliquons cette méthode à la mesure d'une oscillation "vraie":

$$y(n) = e^{-\frac{n}{\delta}} \cdot M_q \cos(2\pi q'_H \cdot n + \phi_{q_H})$$

δ = coefficient d'amortissement

q'_H = fréquence bétatronique vraie = $\frac{k'_H}{N}$

ϕ_{q_H} = phase vraie

M_q = module de l'oscillation pour $n=0$

La méthode de l'interpolation analytique permet la mesure exprimée par les relations (4) si il y a un couplage on obtient aussi la mesure de :

$$(q'_v)_m = q'_v + d(q'_v)$$

L'application de la méthode de modulation d'amplitude ne peut se faire qu'à partir des mesures $(q'_H)_m$ ou $(q'_v)_m$.

Dans ce qui suit nous allons supposer que nous voulons mesurer l'oscillation horizontale H .

2.1 Calcul avec la modulation $(f_m)_1$

La fréquence de modulation sera

$$(f_m)_1 = \frac{k_0}{N_1} - (q'_H)_m$$

d'où avec la relation (4)

$$(f_m)_1 = \frac{k_0}{N_1} - q'_H - d(q'_H) \quad (10)$$

Considérons les échantillons $y(n)$ et appliquons la modulation d'amplitude calculée par la relation (10). on obtient:

$$y_1(n) = e^{-\frac{n}{\delta}} M_q \cos\left(\underbrace{2\pi q'_H n + \phi_q}_{\frac{A+B}{2}}\right) \times \cos\left[\underbrace{2\pi\left(\frac{K_0}{N_1} - q'_H - d(q'_H)\right)n}_{\frac{A-B}{2}}\right]$$

On calcule :

$$A = 2\pi \left[\frac{K_0}{N_1} - d(q'_H) \right] n + \phi_q \quad (11)$$

$$B = 2\pi \left[2q'_H - \frac{K_0}{N_1} + d(q'_H) \right] n + \phi_q \quad (12)$$

d'où

$$y_1(n) = \frac{e^{-\frac{n}{\delta}} M_q}{2} \left[\cos A + \cos B \right] \quad (13)$$

seule la composante transposée A a une fréquence proche de la valeur rationnelle $\frac{K_0}{N_1}$. L'irrationalité résiduelle est caractérisée par

$$\frac{K'_H}{N_1} - \frac{K_0}{N_1} = \underbrace{\frac{K_0}{N_1} - d(q'_H)}_{\frac{K'_H}{N_1}} - \frac{K_0}{N_1} = -d(q'_H)$$

d'où

$$\boxed{K'_H - K_0 = -N_1 \cdot d(q'_H)} \quad (14)$$

si on admet l'erreur $d(q'_H)$ donnée par la relation (5),

on obtient

$$|K'_H - K_0| \leq \frac{N_1}{40 \cdot N} \quad (15)$$

nombre d'échantillons utilisés pour la DFT pour la mesure de la fréquence vraie

nombre d'échantillons de la DFT à appliquer sur le signal modulé en amplitude pour obtenir la phase sur la raie K_0/N_1 .

La DFT qu'on doit faire sur le signal modulé $y_1(n)$ (la modulation se fait par software) pour obtenir la phase à la raie de fréquence $\frac{K_0}{N_1}$, introduit elle-même les deux types d'erreurs que nous avons signalés dans le paragraphe I.

L'erreur d'irrationalité principale est très fortement diminuée :

$$\left. \begin{array}{l} \text{si } N_1 \leq N \\ [d\phi]_1 \leq \phi_{\text{proj.}} \left(K'_H - K_0 \cong \frac{N_1}{40 \cdot N} \right) \end{array} \right\} \quad (16)$$

L'erreur $[d\phi]_2$ due aux irrationalités secondaires, ici encore, peut être minimisée par le choix de N_1 , l'utilisation d'une fenêtre \sin [on multiplie les échantillons $y_1(n)$ modulés en amplitude par $\sin(\frac{\pi}{N_1} \cdot n)$] et par le choix de K_0 .

3. ETABLISSEMENT DES ALGORITHMES DE MODULATION.

Le spectre vrai correspondant à deux oscillations q'_H et q'_V (on suppose $q'_H > q'_V$ et si c'est le contraire il suffit d'intervenir les indices H et V) est représenté sur la fig 1. En 1-a quand il n'y a pas d'amortissement, en 1-b lorsqu'il y a de l'amortissement.

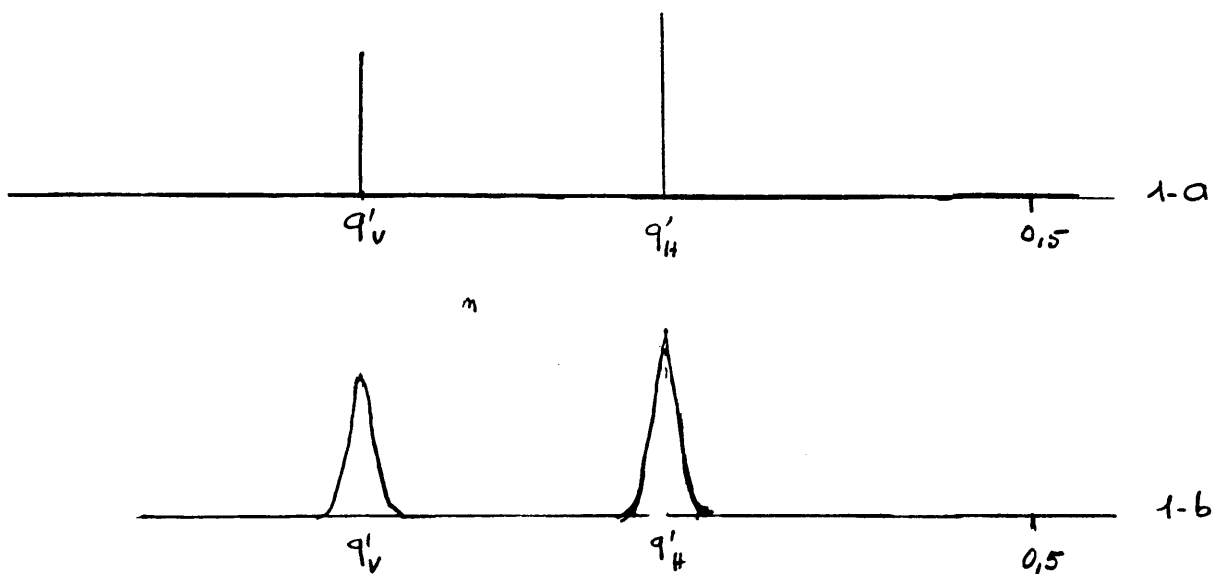


fig. 1

si on applique une modulation d'amplitude de fréquence f_m , le spectre vraie devient celui de la figure 2. En 2-a quand il n'y a pas d'amortissement, en 2-b lorsqu'il y a de l'amortissement. Sur la figure 2 est rappelé en pointillés le spectre vrai avant la modulation d'amplitude. C'est donc le spectre vrai en trait plein de la figure 2 qui est à considérer pour la DFT de Nt échantillons.

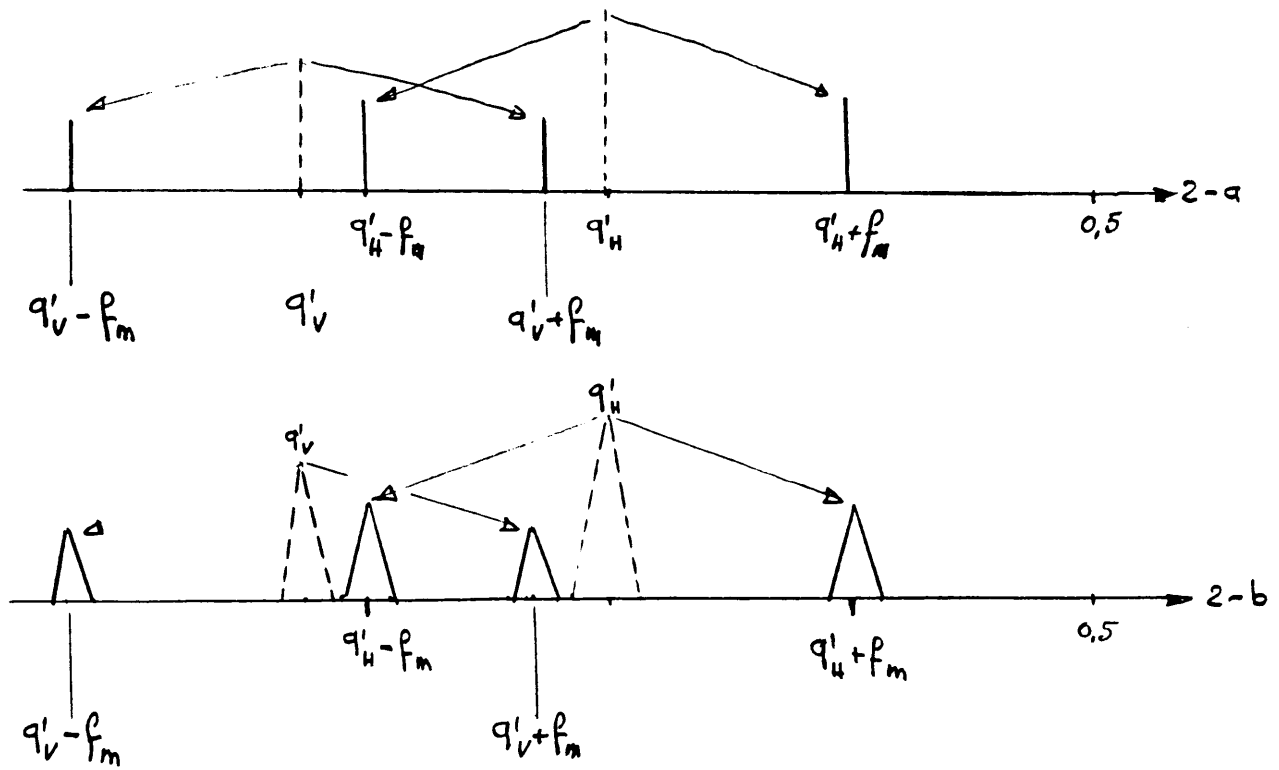


Fig. 2

Considération 1 : choix de la fenêtre sinus.

La relation (15) nous montre que l'irrationalité résiduelle sera d'autant plus petite que N_1 est petit. Pour la recherche de la phase, la modulation d'amplitude conduit à ne rendre rationnelle que l'une des fréquences latérales. Il faut donc réduire le plus possible la distribution des autres composantes. Comme nous cherchons en même temps à avoir N_1 le plus petit possible, il est préférable d'opérer la DFT de N_1 échantillons avec une fenêtre sinus dont la transformée a des lobes secondaires fortement atténués.

Considération 2 : quelle composante latérale faut-il rendre rationnelle?

Nous avons intérêt à mesurer la phase sur la raie la plus éloignée de toutes les autres. Ainsi:

• si on mesure la phase de q_H , on cherchera à rendre rationnelle la fréquence $q'_H + f_m$, c'est à dire on fera:

$$q'_H + f_m = \frac{K_0}{N_1} \text{ et } f_m = \frac{K_0}{N_1} - q'_H \text{ et donc } \frac{K_0}{N_1} > q'_H \quad (17)$$

• si on mesure la phase de q_V , on cherchera à rendre rationnelle la fréquence $q'_V - f_m$, c'est à dire on fera:

$$q'_V - f_m = \frac{K_0}{N_1} \text{ et } f_m = q'_V - \frac{K_0}{N_1} \text{ et donc } \frac{K_0}{N_1} < q'_V \quad (18)$$

Mesure de la phase Φ_{q_H} :

La conclusion (17) nous montre qu'il faut rendre rationnelle la fréquence $q'_H + f_m$.

La fréquence la plus proche de $q'_H + f_m$ dépend de la limite maximum qu'on se fixe pour f_m .

En effet si $q'_H - f_m > q'_V + f_m$ (ce n'est pas le cas de la figure 2) on obtient $q'_H - q'_V > 2f_m$ et

$$f_m < \frac{q'_H - q'_V}{2} \quad (19)$$

dans ce cas c'est la fréquence $q'_H - f_m$ qui est la plus proche de $q'_H + f_m$. Mais on voit avec la relation (19) que si $q'_H - q'_V$ est petit (de l'ordre de 0,04 dans LEAR), on aura très peu de latitude de choix pour f_m .

Si au contraire on impose la condition :

$$q'_v + f_m > q'_H - f_m \quad (\text{cas de la figure 2})$$

la fréquence la plus proche de $q'_H + f_m$ est la fréquence $q'_v + f_m$. Dans ce cas on doit avoir

$$2 f_m > q'_H - q'_v$$

soit $f_m > \frac{q'_H - q'_v}{2}$ (20)

Cette fois-ci $\frac{q'_H - q'_v}{2}$ est la valeur minimum de f_m , ce qui est beaucoup plus confortable pour faire un choix.

On prendra donc :

$$\text{valeur minimum de } f_m = (f_m)_{\min} = \frac{(q'_H - q'_v)_{\max}}{2} \quad (21)$$

La valeur maximum de $f_m = (f_m)_{\max}$ peut être calculée avec le raisonnement qui suit.

Pour diminuer les erreurs dues aux irrationalités secondaires et en particulier dues à la distribution du spectre image de la fréquence $q'_H + f_m$, il faut que la distance en nombre de lobes secondaires de la projectrice $\frac{\sigma}{N1}$, soit suffisante entre $q'_H + f_m$ et son image $1 - (q'_H + f_m)$. En effet $q'_H + f_m$ étant la fréquence la plus grande, sa propre image sera la fréquence du spectre image qui lui sera la plus proche. On doit donc avoir

$$1 - (q'_H + f_m) - (q'_H + f_m) \geq \frac{\sigma}{N1}$$

Ce qui donne :

$$P_m \leq 0,5 - q'_H - \frac{\sigma}{2N_1}$$

Nous fixons $\sigma = 10$ (ce qui donne une atténuation de 52 dB entre le lobe principal et le dixième lobe secondaire).

On obtient ainsi :

$$P_m \leq 0,5 - q'_H - \frac{10}{2N_1}$$

et

$$\boxed{(P_m)_{\max} = 0,5 - q'_H - \frac{10}{2N_1}} \quad (22)$$

En amont de la raie $q'_H + f_m$, la fréquence la plus proche est $q'_V + f_m$. On devra ainsi avoir ;

$$q'_H + f_m - (q'_V + f_m) \geq \frac{\sigma}{N_1}$$

d'où en prenant aussi $\sigma = 10$

$$(q'_H - q'_V)_{\min} \geq \frac{10}{N_1}$$

soit
$$N_1 \geq \frac{10}{(q'_H - q'_V)_{\min}}$$

d'où

$$\boxed{N_1 \min = \frac{10}{(q'_H - q'_V)_{\min}}} \quad (23)$$

On choisira N_1 comme

$N_1 =$ la plus petite valeur entière $\geq \frac{10}{(q_H - q_V)_{\min}}$, si on fait une DFT

$N_1 =$ la plus petite puissance entière de 2 $\geq \frac{10}{(q_H - q_V)_{\min}}$, si on fait une FFT

Remarque: seul le calcul de la transformée pour la raie $\frac{K_0}{N_1}$ étant nécessaire pour obtenir la phase, le calcul d'une DFT est en général plus rapide que le calcul obligatoire de toutes les raies avec l'algorithme FFT.

Calcul de K_0 et f_m pour obtenir Φ_{q_H} :

On choisit d'abord la valeur approximative de f_m :

$$(f_m)_N = \frac{(f_m)_{\min} + (f_m)_{\max}}{2} \quad (24)$$

A partir de la relation (17) on sait que :

$$f_m = \frac{K_0}{N_1} - q'_H$$

On aura donc :

$$K_0 = \text{inter} \left\langle N_1 \left[(f_m)_N + q'_H \right] \right\rangle \quad (25)$$

avec $\text{inter} \langle x \rangle =$ partie entière de x .

On obtient alors la valeur exacte de f_m :

$$f_m = \frac{K_0}{N_1} - q'_H. \quad (26)$$

Mesure de la phase ϕ_{qv} :

Nous allons suivre une démarche similaire à celle qui a été faite pour la mesure ϕ_{qh} .

La conclusion exprimée par la relation (18) montre qu'il faut rendre rationnelle la fréquence $q'_v - f_m$.

Avec le même raisonnement que celui fait on conclut qu'il faut imposer

$$q'_v + f_m > q'_H - f_m$$

de façon à ce qu'en amont la fréquence la plus proche de $q'_v - f_m$ soit la fréquence $q'_H - f_m$ (comme sur la figure 2).

On doit donc imposer:

$$f_m > \frac{q'_H - q'_v}{2}$$

$$\text{soit } \boxed{(f_m)_{\min} = \frac{(q'_H - q'_v)_{\max}}{2}} \quad (27)$$

La distance de $q'_v - f_m$ à la fréquence la plus proche en amont doit aussi correspondre au minimum à $\frac{\sigma}{N1}$. Soit

$$q'_H - f_m - (q'_v - f_m) \geq \frac{\sigma}{N1}$$

d'où

$$N1 \geq \frac{\sigma}{q'_H - q'_v}$$

soit

$$\boxed{(N1)_{\min} = \frac{\sigma}{(q'_H - q'_v)_{\min.}}} \quad (28)$$

En aval de la fréquence $q'_v - f_m$, il faut que la composante continue (fréquence zéro) soit aussi à une distance $\frac{g}{N_1}$ d'où :

$$q'_v - f_m \geq \frac{g}{N_1}$$

soit

$$f_m \leq q'_v - \frac{g}{N_1}$$

d'où

$$\boxed{(f_m)_{\max} = q'_v - \frac{g}{N_1}} \quad (29)$$

On calcule alors de la même façon, la valeur approximative de f_m

$$(f_m)_v = \frac{(f_m)_{\min} + (f_m)_{\max}}{2}$$

Avec la relation (18) on écrit :

$$\boxed{\kappa_0 = \text{int.} \left\langle N_1 \cdot [q'_v - (f_m)_v] \right\rangle} \quad (30)$$

et ainsi on obtient la valeur exacte de f_m :

$$\boxed{f_m = q'_v - \frac{\kappa_0}{N_1}} \quad (31)$$

4. RECAPITULATIF DE LA METHODE

1 - Hypothèse : $q'_H > q'_V$

(dans le cas contraire inverser les indices H et V)

2 - Les ordres de grandeurs de $(q'_H - q'_V)_{\max}$ et $(q'_H - q'_V)_{\min}$ sont supposés connus.

Si on mesure $(q'_H)_m$ et $(q'_V)_m$ on obtient directement $(q'_H - q'_V)$.

Si non, on prend des valeurs limites connues. Par exemple pour LEAR

$$(q'_H - q'_V)_{\max} \approx 0,06 \quad \text{et} \quad (q'_H - q'_V)_{\min} \approx 0,04$$

3 - On choisit N1 :

$N1 =$ la plus petite valeur entière $\geq \frac{10}{(q'_H - q'_V)_{\min}}$, si on fait une DFT

$N1 =$ la plus petite puissance entière de 2 $\geq \frac{10}{(q'_H - q'_V)_{\min}}$, si on fait une FFT.

Note : le calcul de la transformée de fourier pour la raie $\frac{k_0}{N1}$ étant seul nécessaire, le calcul d'une DFT est plus rapide qu'avec une FFT. D'autre part cela permet en général d'avoir la valeur N1 la plus petite.

4 - On mesure avec la méthode d'interpolation analytique (avec

FFT, fenêtre sin.) les fréquences :

$$(q'_H)_m \quad \text{et} \quad (q'_V)_m$$

(on les obtient en général avec une erreur $< \pm \frac{1}{40N}$)

5 - On calcule :

$$(f_m)_{\min} = \frac{(q'_H - q'_V)_{\max}}{2}$$

6. On calcule :

pour la mesure de ϕ_{qH} :

$$(f_m)_{\max} = 0,5 - (q'_H)_m - \frac{10}{2N1}$$

pour la mesure de ϕ_{qV} :

$$(f_m)_{\max} = (q'_V)_m - \frac{10}{N1}$$

7. On calcule :

$$(f_m)_N = \frac{(f_m)_{\max} + (f_m)_{\min}}{2}$$

8. On calcule :

pour la mesure de ϕ_{qH} :

$$K_0 = \text{inter} \langle N1 \cdot [(f_m)_N + (q'_H)_m] \rangle$$

$$f_m = \frac{K_0}{N1} - (q'_H)_m$$

pour la mesure de ϕ_{qV} :

$$K_0 = \text{inter} \langle N1 \cdot [(q'_V)_m - (f_m)_N] \rangle$$

$$f_m = (q'_V)_m - \frac{K_0}{N1}$$

9. Les échantillons $y(n)$ de la mesure sont modifiés de la façon suivante :

$$y_1(n) = y(n) \times \underbrace{\cos(2\pi f_m \cdot n)}_{\text{modulation d'amplitude}} \cdot \underbrace{\sin\left(\frac{\pi}{N1} n\right)}_{\text{fenêtre sinus}}$$

10. On pratique une DFT (ou FFT) avec $N1$ échantillons $y_1(n)$.

On obtient directement la phase "vraie" à la raie $\frac{K_0}{N1}$.

5 - RESULTATS

Les résultats qui suivent ont été obtenus en simulation avec des conditions relativement sévères de bruit, d'amortissement et de couplages.

Les résultats sont figurés aux pages 22 à 27. Les résultats de chacune des mesures sont encadrés.

6 - CONCLUSION

L'utilisation de la modulation d'amplitude pour déplacer les fréquences d'un spectre vrai donné a été utilisée avec profit pour obtenir les mesures de phase.

Le principe a des applications plus générales: il sera aussi utilisé pour les mesures des modules et coefficients d'amortissement.

SIMULATION 1 (mesure q_H et q_V)

1 - Mesure de $(q'_H)_m$ et $(q'_V)_m$

Valeurs simulées

q_H $\delta = 512$
 q_V couplage q_V 50%
 qh= 3.874219E-01
 phaseh= 1.358888E+00
 amplitudeh= 1.888888E+01
 damph= 5.128888E+02
 qv= 2.678312E-01
 phasev= 5.888888E-01
 amplitudev= 5.888888E+00
 dampv= 5.128888E+02

amplitude du bruit= 2.888888E+00 bruit 20%
 nombre d echantillons: 512
 fenetre sinus

| # | reelle | imag. | phase | module |
|-----|---------------|---------------|---------------|--------------|
| 0 | 8.8724388753 | 8.8888888888 | 8.8888888888 | 8.8724388753 |
| 1 | -8.8611418285 | -8.1138618847 | -2.8665323836 | 8.1285341754 |
| 134 | -8.8689595458 | -8.8698948861 | -2.2937231128 | 8.8921428559 |
| 135 | -8.1725175882 | 8.8819252173 | 2.6982419854 | 8.1989818229 |
| 136 | -8.9818753253 | 8.6585614228 | 2.5188757152 | 1.1167283689 |
| 137 | 1.7287228388 | -8.4374184983 | -8.2489291838 | 1.7754478399 |
| 138 | -8.2568839617 | -8.1522783931 | -2.6863774713 | 8.2985548945 |
| 139 | -8.8887199385 | 8.8166867853 | 2.9556816378 | 8.8982755427 |
| 140 | -8.8723814977 | -8.8478896328 | -2.5643873381 | 8.8862848658 |
| 141 | 8.8195945753 | -8.8665978788 | -1.2846486477 | 8.8694286378 |
| 142 | 8.8345767438 | 8.8116479848 | 8.3249332178 | 8.8364859796 |
| 143 | -8.8676897928 | 8.8872581856 | 2.2388416628 | 8.1183796399 |
| 144 | 8.8511425754 | -8.8681836874 | -8.8664324141 | 8.8789786656 |
| 145 | -8.8657514341 | -8.8787621283 | -2.3195862813 | 8.8965946622 |
| 146 | 8.8882219976 | 8.8138318289 | 1.8344852418 | 8.8168918872 |
| 147 | 8.8144548433 | -8.8878938858 | -8.4561852289 | 8.8161813777 |
| 148 | 8.8816272888 | 8.8224338325 | 1.4983833478 | 8.8224919766 |
| 149 | -8.8984735661 | -8.8368132518 | -2.7989878837 | 8.1848522649 |
| 150 | 8.8913916624 | 8.8399342417 | 8.4119547254 | 8.8997355484 |
| 151 | -8.8558999486 | -8.8246865983 | -2.7269265557 | 8.8618768848 |
| 152 | 8.8819873354 | -8.8464115987 | -1.5288826671 | 8.8464541278 |
| 153 | 8.1181752841 | -8.8832943229 | -8.6139649591 | 8.1445798818 |
| 154 | -8.1196531851 | 8.8864565711 | 3.8876841875 | 8.1198271792 |
| 155 | -8.8885335874 | -8.1369388678 | -1.5746928678 | 8.1369391866 |
| 156 | -8.8493522849 | -8.2669814987 | -1.7535855827 | 8.2715846168 |
| 157 | -2.6651586158 | 2.8958683641 | 2.4752824586 | 3.3985368486 |
| 158 | 2.6123761133 | -8.9519885116 | -8.3494286161 | 2.7883998888 |
| 159 | 8.1722613184 | -8.2623282784 | -8.9897512193 | 8.3138312974 |
| 160 | 8.8865124764 | -8.8626578623 | -1.4672318957 | 8.8629953971 |

← q_V

← q_H

Résultats FFT

Peak#1 seen at Index= 157
 AMPLITUDE: 3.398536E+08
 q= 3.866486E-01
 1-q= 6.933594E-01

Erreur relative sur q: -2.541296E-01X
 Erreur absolue sur q: -7.812588E-04
 PHASE: 2.475282E+00
 ERREUR SUR PHASE: 1.125282E+00

Peak#2 seen at Index= 137
 AMPLITUDE: 1.775448E+08
 q= 2.675781E-01
 1-q= 7.324219E-01

Erreur $q_H = -7,8125 \cdot 10^{-4}$
 Erreur phase = 1,1252 rad
 = 64,46 deg.

couplage q_V

q interpole pour DFT = 3.874241E-01
 1-q interpole pour DFT = 6.925759E-01
 Erreur relative sur q: 7.162981E-04X
 Erreur absolue sur q: 2.282857E-06
 q interpole pour DFT = 2.678464E-01
 1-q interpole pour DFT = 7.329536E-01

Interpolation analytique

$(q'_H)_m$ et $(q'_V)_m$

$(q'_H)_m = 0,307424077$
 Erreur $q_H = 2,202057 \cdot 10^{-6}$

$\approx \frac{1}{887.N}$

$(q'_V)_m = 0,267046404$
 Erreur $q_V = 1,5155 \cdot 10^{-5}$

SIMULATION 1 (suite)

2 - Modulation d'amplitude et mesure de ϕ_{q_H}

• choix de N_1 : $N_1 \geq \frac{10}{0,04} = 250$ $N_1 = 256$

• $(f_m)_{min} = \frac{0,06}{2} = 0,03$

} valable pour q_H et q_V

• $(f_m)_{max} = 0,5 - (q'_H)_m - \frac{10}{2N_1} = 0,173044673$

• $(f_m)_v = \frac{(f_m)_{min} + (f_m)_{max}}{2} = 0,101522337$

• $K_0 = \text{inter} \langle N_1 [(f_m)_v + (q'_H)_m] \rangle = 104$

• $f_m = \frac{K_0}{N_1} - (q'_H)_m = 0,098825923$

nombre d'échantillons: 256
fenêtre sinus
amplitude modulation
fmod= 9.882592E-02

| # | reelle | imag. | phase | module |
|-----------------------|---------------|---------------|---------------|--------------|
| 0 | 0.1397519032 | 0.0000000000 | 0.0000000000 | 0.1397519032 |
| 1 | -0.0961591553 | 0.0164096570 | 2.9725698397 | 0.0975492696 |
| 103 | -0.3223993212 | -0.7619045544 | -1.9710983067 | 0.8273088131 |
| $K_0 \rightarrow$ 104 | 0.5849403813 | 2.4887213604 | 1.3399497680 | 2.5565385308 |
| 105 | -0.0166791730 | -0.9011497548 | -1.5893029830 | 0.9013040971 |

← $q'_H + f_m$

$\phi_{q_H} = 1,339949768 \text{ rad}$, Erreur sur $\phi_{q_H} = -0,0100 \text{ rad}$
 $= -0,576 \text{ degré}$.

3 - Modulation d'amplitude et mesure de ϕ_{q_V}

• $(f_m)_{max} = (q'_V)_m - \frac{10}{N_1} = 0,227983904$

• $(f_m)_v = \frac{(f_m)_{min} + (f_m)_{max}}{2} = 0,128991952$

• $K_0 = \text{inter} \langle N_1 [(q'_V)_m - (f_m)_v] \rangle = 35$

• $f_m = (q'_V)_m - \frac{K_0}{N_1} = 0,130327654$

nombre d'échantillons: 256
fenêtre sinus
amplitude modulation
fmod= 1.303277E-01

| # | reelle | imag. | phase | module |
|----------------------|---------------|---------------|---------------|--------------|
| 0 | 0.0392160000 | 0.0000000000 | 0.0000000000 | 0.0392160000 |
| 34 | -0.5028130759 | -0.1482369672 | -2.8548992635 | 0.5242091069 |
| $K_0 \rightarrow$ 35 | 1.1029581841 | 0.6240718723 | 0.5149052027 | 1.2672736317 |
| 36 | -0.3137449536 | -0.2907020767 | -2.3942982821 | 0.4277190589 |

← $q'_V - f_m$

$\phi_{q_V} = 0,5149052027 \text{ rad}$, Erreur sur $\phi_{q_V} = 0,0149 \text{ rad}$
 $= 0,854 \text{ degré}$

SIMULATION 2 (mesure q_H et q_V)

1. Mesure de $(q'_H)_m$ et $(q'_V)_m$

valeurs simulées

$q_H = \left. \begin{array}{l} q_H \quad \delta = 512 \\ \text{couplage } q_V, 50\% \end{array} \right\}$
 $q_H = \left. \begin{array}{l} q_H \quad \delta = 512 \\ \text{couplage } q_V, 50\% \end{array} \right\}$
 amplitude du bruit = 5.000000E+00 bruit 50%
 nombre d échantillons: 512
 fenetre echant

| # | reelle | imag. | phase | module |
|-----|---------------|---------------|---------------|---------------|
| 0 | 0.1811481677 | 0.0000000000 | 0.0000000000 | 0.1811481677 |
| 1 | -0.1527795821 | -0.2826517730 | -2.0663338720 | 0.3212998996 |
| 134 | -0.0694078077 | -0.1704301320 | -1.9575377236 | 0.1840213946 |
| 135 | -0.2142593144 | 0.1909797445 | 2.4135779324 | 0.2870197147 |
| 136 | -0.8091063571 | 0.6025671021 | 2.5014718321 | 1.00080311106 |
| 137 | 1.6634345030 | -0.2891358733 | -0.1720991520 | 1.6883761130 |
| 138 | -0.2595956519 | -0.2074377545 | -2.4674127952 | 0.3322955379 |
| 139 | -0.1066850675 | 0.0769372309 | 2.5168046551 | 0.1315334220 |
| 140 | -0.1257967850 | -0.1020091559 | -2.4602380145 | 0.1619589423 |
| 141 | 0.0810739776 | -0.1565516297 | -1.0929521864 | 0.1762991850 |
| 142 | 0.1074210944 | 0.0368732437 | 0.3306567829 | 0.1135734460 |
| 143 | -0.1542810135 | 0.2250602311 | 2.1717310402 | 0.2728639565 |
| 144 | 0.1387435172 | -0.1436491193 | -0.8027679818 | 0.19971118751 |
| 145 | -0.1560501711 | -0.1697646190 | -2.3141265509 | 0.2305898562 |
| 146 | 0.0270908082 | 0.0424401678 | 1.0026691707 | 0.0503495753 |
| 147 | 0.0413599828 | -0.0087363253 | -0.2081666198 | 0.0422725863 |
| 148 | 0.0082925963 | 0.0667377007 | 1.4471734131 | 0.0672509319 |
| 149 | -0.2427430632 | -0.0769841741 | -2.8344838063 | 0.2546581194 |
| 150 | 0.2312929496 | 0.1164023885 | 0.4662587567 | 0.2589323166 |
| 151 | -0.1374296142 | -0.0395742891 | -2.8612176166 | 0.1430140665 |
| 152 | 0.0069634200 | -0.0853618358 | -1.4894012258 | 0.0856453865 |
| 153 | 0.2974801167 | -0.1620871924 | -0.4988940309 | 0.3387723097 |
| 154 | -0.2957559641 | 0.0937779291 | 2.8345418590 | 0.3102674496 |
| 155 | 0.0100434744 | -0.1839880910 | -1.5162620174 | 0.1842620119 |
| 156 | -0.0312734311 | -0.1720466507 | -1.7506060633 | 0.1748658844 |
| 157 | -2.6216669602 | 2.1164874486 | 2.4624126870 | 3.3693703819 |
| 158 | 2.5720118563 | -0.9814883050 | -0.3644437126 | 2.7536666721 |
| 159 | 0.3221253994 | -0.2973385115 | -0.7454060483 | 0.4383776492 |
| 160 | -0.0098920998 | -0.0251308976 | -1.9457932481 | 0.0270076962 |

← q_V

← q_H

Peak#1 seen at index= 157
 AMPLITUDE: 3.369370E+00
 $q = 3.066406E-01$
 $1-q = 6.933594E-01$
 Erreur relative sur q: -2.541296E-01X
 Erreur absolue sur q: -7.812500E-04
 PHASE: 2.462413E+00
 ERREUR SUR PHASE: 1.112413E+00
 Peak#2 seen at index= 137
 AMPLITUDE: 1.688376E+00
 $q = 2.675701E-01$
 $1-q = 7.324219E-01$

Résultats FFT

$q_H \left\{ \begin{array}{l} \text{Erreur } q_H = -7.8125 \cdot 10^{-4} \\ \text{Erreur phase} = -1.1124 \text{ rad} \end{array} \right.$

couplage q_V

q interpolé pour DFT = 3.074200E-01
 $1-q$ interpolé pour DFT = 6.925792E-01
 Erreur relative sur q: -3.527832E-04X
 Erreur absolue sur q: -1.084533E-06
 q interpolé pour DFT = 2.670936E-01
 $1-q$ interpolé pour DFT = 7.329064E-01

Interpolation analytique:

$(q'_H)_m = 0.30742079$

$(q'_V)_m = 0.26709364$

Erreur $q_V = 6.239 \cdot 10^{-5}$

Erreur $q_H = -1.085 \cdot 10^{-6}$
 $= -\frac{1}{1800.N}$

SIMULATION 2 (suite)

2. Modulation d'amplitude et mesure de ϕ_{qH}

- choix de $N1 \geq \frac{10}{0,04} = 250$ $N1 = 256$
- $(f_m)_{min} = \frac{0,06}{2} = 0,03$
- $(f_m)_{max} = 0,5 - (q'_H)_m - \frac{10}{2 \cdot N1} = 0,17304796$
- $(f_m)_v = \frac{(f_m)_{min} + (f_m)_{max}}{2} = 0,10152398$
- $K_0 = \text{inter} \langle N1 \cdot [(f_m)_v + (q'_H)_m] \rangle = 104$
- $f_m = \frac{K_0}{N1} - (q'_H)_m = 0,09882921$

} valable pour q_H et q_V

nombre d'échantillons: 256
fenêtre sinus
amplitude modulation
fmod= 9.882921E-02

| # | reelle | imag. | phase | module |
|-----------------------|---------------|---------------|---------------|-----------------------------|
| 0 | 0.3500779501 | 0.0000000000 | 0.0000000000 | 0.3500779501 |
| 1 | -0.2399664630 | 0.0412013588 | 2.9715542858 | 0.2434778334 |
| $K_0 \rightarrow$ 103 | -0.2708794334 | -0.7587674563 | -1.9136929234 | 0.8056697339 |
| 104 | 0.6340613323 | 2.5743636466 | 1.3293046607 | 2.6512981647 ← $q'_H + f_m$ |
| 105 | -0.0230350284 | -0.9958042042 | -1.5939242880 | 0.9960705927 |

$\phi_{qH} = 1,3293046607 \text{ rad}$, Erreur sur $\phi_{qH} = -0,0207 \text{ rad}$.
= -1,1857 degré.

3. Modulation d'amplitude et mesure de ϕ_{qV}

- $(f_m)_{max} = (q'_V)_m - \frac{10}{N1} = 0,22803114$
- $(f_m)_v = \frac{(f_m)_{min} + (f_m)_{max}}{2} = 0,12901557$
- $K_0 = \text{inter} \langle N1 \cdot [(q'_V)_m - (f_m)_v] \rangle = 35$
- $f_m = (q'_V)_m - \frac{K_0}{N1} = 0,13037489$

nombre d'échantillons: 256
fenêtre sinus
amplitude modulation
fmod= 1.303749E-01

| # | reelle | imag. | phase | module |
|----------------------|---------------|---------------|---------------|-----------------------------|
| 0 | 0.0926921486 | 0.0000000000 | 0.0000000000 | 0.0926921486 |
| 34 | -0.6528288643 | -0.1834896835 | -2.8675933294 | 0.6781253498 |
| $K_0 \rightarrow$ 35 | 1.1210268714 | 0.6489814472 | 0.5244637181 | 1.2960217777 ← $q'_V - f_m$ |
| 36 | -0.3059877018 | -0.3025025242 | -2.3619220095 | 0.4302746225 |

$\phi_{qV} = 0,5244637181 \text{ rad}$, Erreur sur $\phi_{qV} = 0,02446 \text{ rad}$.
= 1,4016 degré

SIMULATION 3 (mesure de q_H et q_V)

1. Mesure de $(q'_H)_m$ et $(q'_V)_m$

valeurs simulées

q_H $\delta = 256$
 q_V couplage q_V 50%
 bruit 20%

q_H parameters:
 $q_H = 3.874219E-01$
 $phase_H = 1.358888E+00$
 $amplitude_H = 1.888888E+01$
 $damp_H = 2.568888E+02$

q_V parameters:
 $q_V = 2.678312E-01$
 $phase_V = 5.888888E-01$
 $amplitude_V = 5.888888E+00$
 $damp_V = 2.568888E+02$

amplitude du bruit = $2.888888E+00$
 nombre d'échantillons: 512
 fenetre sinus

| # | reelle | imag. | phase | module |
|-----|----------------|----------------|---------------|--------------|
| 1 | 0.8724182933 | 0.1138613297 | -2.8666128298 | 0.1285399962 |
| 134 | -0.8593858728 | -0.8754613472 | -2.2375354827 | 0.8968268469 |
| 135 | -0.1664134694 | 0.8759188394 | 2.7135897358 | 0.1829128562 |
| 136 | -0.4637736821 | 0.5674621246 | 2.2559834536 | 0.7328785321 |
| 137 | 1.1347497718 | -0.1579582762 | -0.1383121928 | 1.1456989967 |
| 138 | -0.1568298688 | -0.2444828829 | -2.1389816746 | 0.2899611111 |
| 139 | -0.8736743772 | -0.8898282877 | -3.8196574729 | 0.8742254931 |
| 140 | -0.8672735249 | -0.8585788215 | -2.4252398698 | 0.8891979164 |
| 141 | 0.8217691294 | -0.8731611635 | -1.2815884351 | 0.8763311918 |
| 142 | 0.8355428117 | 0.8872914878 | 0.2823393826 | 0.8362838161 |
| 143 | -0.8673829179 | 0.8848372491 | 2.2468675765 | 0.1876658813 |
| 144 | 0.8518888448 | -0.8627583815 | -0.8883896722 | 0.8888733989 |
| 145 | -0.8662386241 | -0.8729772881 | -2.3878283772 | 0.8985557113 |
| 146 | 0.8874818755 | 0.8118882657 | 1.8186196634 | 0.8139291848 |
| 147 | 0.8132727976 | -0.8898784945 | -0.5994989745 | 0.8168761811 |
| 148 | 0.88888898519 | 0.8283966288 | 1.5783133126 | 0.8283966232 |
| 149 | -0.18886634114 | -0.8382276928 | -2.7786575854 | 0.1876776617 |
| 150 | 0.8883982184 | 0.8373935831 | 0.4882187925 | 0.8959745319 |
| 151 | -0.8681424387 | -0.8276848834 | -2.7181892866 | 0.8662884618 |
| 152 | -0.8843257853 | -0.8583621362 | -1.6564788491 | 0.8585475666 |
| 153 | 0.1879913476 | -0.8886911125 | -0.6875824179 | 0.1397434958 |
| 154 | -0.1383838838 | -0.8813842314 | -3.1315981584 | 0.1383988868 |
| 155 | -0.8441652283 | -0.1488437653 | -1.8687161638 | 0.1544911772 |
| 156 | -0.2192424848 | -0.2479367267 | -2.2948511648 | 0.3389688531 |
| 157 | -1.5668946425 | 1.5788523798 | 2.3523913358 | 2.2232637586 |
| 158 | 1.8127819727 | -0.38864447158 | -0.1674634373 | 1.8385812495 |
| 159 | 0.1857148818 | -0.3838324686 | -1.8289885888 | 0.3554129535 |
| 160 | 0.8813511978 | -0.8819347899 | -1.5543866783 | 0.8819458585 |

← q_V

← q_H

Résultats FFT

Peak#1 seen at index= 157
 AMPLITUDE: $2.223264E+00$
 $q = 3.866486E-01$
 $1-q = 6.933594E-01$

Erreur relative sur q : $-2.541296E-01X$
 Erreur absolue sur q : $-7.812588E-04$
 PHASE: $2.352391E+00$
 ERREUR SUR PHASE: $1.882391E+00$

Peak#2 seen at index= 137
 AMPLITUDE: $1.145691E+00$
 $q = 2.675781E-01$
 $1-q = 7.324219E-01$

q_H { Erreur $q_H = -7,8125 \cdot 10^{-4}$
 Erreur phase = $1,002391 \text{ rad}$

q interpolé pour DFT = $3.874322E-01$
 $1-q$ interpolé pour DFT = $6.925678E-01$
 Erreur relative sur q : $3.349486E-03X$
 Erreur absolue sur q : $1.829785E-05$
 q interpolé pour DFT = $2.678388E-01$
 $1-q$ interpolé pour DFT = $7.329692E-01$

Interpolation analytique

$(q'_H)_m = 0,307432172$
 Erreur $q_H = 1,029705 \cdot 10^{-5}$

$(q'_V)_m = 0,267030769$
 Erreur $q_V = -4,81 \cdot 10^{-7}$

$= \frac{1}{190.N}$

SIMULATION 3 (suite)

2. Modulation d'amplitude et mesure de ϕ_{q_H}

- choix de $N_1 \geq \frac{10}{0,04} = 250$ $N_1 = 256$ } valable pour q_H et q_V
- $(f_m)_{min} = \frac{0,06}{2} = 0,03$
- $(f_m)_{max} = 0,5 - (q'_H)_m - \frac{10}{2N_1} = 0,173036578$
- $(f_m)_N = \frac{(f_m)_{min} + (f_m)_{max}}{2} = 0,101518289$
- $k_0 = \text{inter} \langle N_1 \cdot [(f_m)_N + (q'_H)_m] \rangle = 104$
- $f_m = \frac{k_0}{N_1} - (q'_H)_m = 0,038817828$

nombre d'échantillons: 256
fenêtre sinus
amplitude modulation
fmod= 9.881783E-02

| # | reelle | imag. | phase | module |
|-----------------------|---------------|---------------|---------------|--------------|
| 0 | 0.1395300683 | 0.0000000000 | 0.0000000000 | 0.1395300683 |
| 1 | -0.0961094203 | 0.0162584345 | 2.9740133011 | 0.0974749064 |
| 103 | -0.3823707622 | -0.5530280857 | -2.1757358692 | 0.6723447504 |
| $k_0 \rightarrow$ 104 | 0.4814976743 | 1.9813108124 | 1.3323980160 | 2.0389783093 |
| 105 | 0.1198649015 | -0.7342531117 | -1.4089763500 | 0.7439725980 |

$\leftarrow q'_H + f_m$

$\phi_{q_H} = 1,332398016 \text{ rad. Erreur sur } \phi_{q_H} = -0,01760 \text{ rad}$
 $= -1,0085 \text{ degré}$

3. Modulation d'amplitude et mesure de ϕ_{q_V}

- $(f_m)_{max} = (q'_V)_m - \frac{10}{N_1} = 0,227968269$
- $(f_m)_N = \frac{(f_m)_{min} + (f_m)_{max}}{2} = 0,128984135$
- $k_0 = \text{inter} \langle N_1 \cdot [(q'_V)_m - (f_m)_N] \rangle = 35$
- $f_m = (q'_V)_m - \frac{k_0}{N_1} = 0,130312019$

nombre d'échantillons: 256
fenêtre sinus
amplitude modulation
fmod= 1.303120E-01

| # | reelle | imag. | phase | module |
|----------------------|---------------|---------------|---------------|--------------|
| 0 | 0.0399681909 | 0.0000000000 | 0.0000000000 | 0.0399681909 |
| 1 | -0.0378634617 | -0.0246422824 | -2.5646414912 | 0.0451761421 |
| 34 | -0.4391229020 | -0.0611126111 | -3.0033111244 | 0.4433550206 |
| $k_0 \rightarrow$ 35 | 0.0685308739 | 0.5126430202 | 0.5332132707 | 1.0085379244 |
| 36 | -0.2069224623 | -0.2950582366 | -2.1823899727 | 0.3603835018 |

$\leftarrow q'_V - f_m$

$\phi_{q_V} = 0,5332132707 \text{ rad. Erreur sur } \phi_{q_V} = 0,03321 \text{ rad,}$
 $= 1,9029 \text{ degré}$

Distribution

Groupe LEAR

D. ALLEN
E. ASSEO
E. BAECKERUD
S. BAIRD
J. BENGTSSON
M. CHANEL
J. CHEVALLIER
R. GALIANA
R. GIANNINI
F. IAZZOURENE
P. LEFEVRE
F. LENARDON
R. LEY
D. MANGLUNKI
E. MARTENSSON
J.L. MARY
C. MAZELINE
D. MOEHL
G. MOLINARI
J.C. PERRIER
T. PETERSSON
P. SMITH
N. TOKUDA
G. TRANQUILLE
H. VESTERGAARD

Distribution (du résumé)

Personnel scientifique du PS (PS/1 list)

" " SPS
" " LEP